

СОПРЯЖЕННАЯ ЗАДАЧА ТЕПЛООБМЕНА С УЧЕТОМ ИЗЛУЧЕНИЯ ПОВЕРХНОСТИ

и. л. дунин, в. в. иванов

(Новосибирск)

Дано дальнейшее развитие проведенных в [1] исследований процессов теплового переноса в пограничных слоях диатермичного газа на излучающих поверхностях.

Исследуемая физическая модель представляет собой излучающую пластину толщиной b , на которой формируется ламинарный пограничный слой прозрачного газа с постоянными в невозмущенном течении температурой T_∞ и скоростью U_∞ . На поверхности пластины задан тепловой поток q_w , который может включать в себя падающее излучение, а также внутренние источники тепла. Далее принимается, что на процесс теплообмена стационарен, температурный градиент поперек пластины и на ее передней кромке отсутствует, а изменение физических свойств среды подчиняется соотношению Чепмена и Рубезина

$$\frac{\mu}{\mu_\infty} = \left(\frac{T_w}{T_\infty} \right)^{1/2} \left(\frac{T_\infty + T_s}{T_w + T_s} \right) \frac{T}{T_\infty} = C \frac{T}{T_\infty}; \quad \text{Pr}, \quad C_p = \text{const}$$

При указанных допущениях задача о тепловом пограничном слое заключается в интегрировании системы уравнений

$$(1) \quad \frac{\partial^2 \theta}{\partial \tau^2} + \frac{1}{2} \text{Pr} \varphi(\tau) \frac{\partial \theta}{\partial \tau} - \text{Pr} \varphi'(\tau) x \frac{\partial \theta}{\partial x} = -\text{Pr} \frac{U_\infty^2}{C_p T_0} [\varphi''(\tau)]^2$$

$$(2) \quad \lambda_\infty \frac{\partial \theta}{\partial \tau} = \left(\frac{v_\infty x}{C U_\infty} \right)^{1/2} \left[\epsilon \sigma_0 T_0^3 (\theta^4 - \theta_*^4) - b \lambda_w \frac{\partial^2 \theta}{\partial x^2} \right], \quad \tau=0$$

$$(3) \quad \theta = \theta_\infty, \quad \tau \rightarrow \infty; \quad \partial \theta / \partial x = 0, \quad x=0$$

$$\theta = \frac{T}{T_0}, \quad T_0 = T_\infty + \frac{\sqrt{\text{Pr}} U_\infty^2}{2C_p}, \quad \theta_* = \left(\frac{q_w}{\epsilon \sigma_0 T_0^4} \right)^{1/4}$$

$$\tau = Y \left(\frac{U_\infty}{v_\infty x} \right)^{1/2}, \quad Y = C^{-1/2} \int_0^y \frac{\rho}{\rho_\infty} dy$$

где $\varphi(\tau)$ – функция тока Блазиуса.

Решения сопряженных задач теплового переноса с краевым условием типа (2) были получены в [2, 3] путем сведения их к нелинейным интегродифференциальным уравнениям, где неизвестной функцией являлась температура поверхности. В [2] анализ ограничен случаем малых расстояний от кромки пластины, в [3] представлены асимптотические разложения, пригодные как для малых, так и для больших x . Основная сложность решения получающихся интегродифференциальных уравнений связана с их нелинейной формой. Обычно здесь используются численные методы с применением быстродействующих вычислительных машин. Однако даже для рассмотренных в [2, 3] случаев очень малых или очень больших значений координаты x такие численные решения приводят к значительным трудностям вычислительного характера и затрудняют параметрическое исследование процесса теплообмена.

В настоящей работе предлагается иной подход к решению задачи (1)–(3), основанный на использовании нелинейных интегральных преобразований [4]. Этот способ позволяет эффективно и без существенных погрешностей линеаризовать исходную систему уравнений и в сочетании с ЭВМ значительно быстрее получать вполне приемлемые по точности результаты.

Предварительно распределение температуры в пограничном слое представим в виде

$$(4) \quad \theta(x, \tau) = \theta(x, \tau) + 1/2 [\theta_*(\tau) - \theta_*(0)] U_\infty^2 / (C_p T_0)$$

Здесь $\theta_*(\tau)$ – известное решение задачи о термометре [5], а $\hat{\theta}(x, \tau)$ – интеграл уравнения энергии (1) без диссипативного члена с краевыми условиями (2) и (3), где $\hat{\theta}_\infty = 1$.

Применяем теперь к системе для температуры $\vartheta(x, \tau)$ нелинейное интегральное преобразование

$$(5) \quad W(x, \tau) = \exp \left\{ -\frac{p}{2\theta_*^3} \left[\operatorname{Arcth} \frac{\vartheta(x, \tau)}{\theta_*} + \operatorname{arc tg} \frac{\vartheta(x, \tau)}{\theta_*} \right] \right\}$$

номограммированное в [6].

Находим первые и вторые производные по x и τ

$$\begin{aligned} \frac{\partial \vartheta / \partial x}{\theta^4 - \theta_*^4} &= \frac{1}{W p} \frac{\partial W}{\partial x}, & \frac{\partial^2 \vartheta / \partial x^2}{\theta^4 - \theta_*^4} &= \frac{1}{W p} \frac{\partial^2 W}{\partial x^2} + \left(\frac{\partial \vartheta / \partial x}{\theta^4 - \theta_*^4} \right)^2 (4\theta^3 - p) \\ \frac{\partial \vartheta / \partial \tau}{\theta^4 - \theta_*^4} &= \frac{1}{W p} \frac{\partial W}{\partial \tau}, & \frac{\partial^2 \vartheta / \partial \tau^2}{\theta^4 - \theta_*^4} &= \frac{1}{W p} \frac{\partial^2 W}{\partial \tau^2} + \left(\frac{\partial \vartheta / \partial \tau}{\theta^4 - \theta_*^4} \right)^2 (4\theta^3 - p) \end{aligned}$$

Подставляя их значения в уравнение энергии и краевые условия, получаем преобразованную систему для новой переменной $W=W(x, \tau)$. При этом граничные условия записутся как

$$\lambda_\infty \frac{\partial W}{\partial \tau} = \left(\frac{v_\infty x}{C U_\infty} \right)^{1/2} \left\{ \varepsilon \sigma_0 T_0^3 p W - b \lambda_w \left[\frac{\partial^2 W}{\partial x^2} + F_1(x, 0) \right] \right\}, \quad \tau=0$$

$$F_1(x, 0) = p W \left(\frac{\partial \vartheta / \partial x}{\theta^4 - \theta_*^4} \right)^2 (4\theta^3 - p)$$

$$W = \exp \left[-\frac{p}{2\theta_*^3} \left(\operatorname{Arcth} \frac{1}{\theta_*} + \operatorname{arc tg} \frac{1}{\theta_*} \right) \right] = W_\infty, \quad \tau \rightarrow \infty,$$

$$\frac{\partial W}{\partial x} = 0, \quad x=0$$

а в преобразованном уравнении энергии появится нелинейное слагаемое

$$F_2(x, \tau) = p W \left(\frac{\partial \vartheta / \partial \tau}{\theta^4 - \theta_*^4} \right)^2 (4\theta^3 - p)$$

Структура полученных нелинейных комплексов F_1 и F_2 позволяет легко осуществить их минимизацию [1, 4]. Так как $1 > \vartheta(x, \tau) > \theta_*$, а $F_1, F_2 \rightarrow 0$, когда $p \rightarrow 4\theta^3$, корректирующий параметр следует выбирать по формуле $p=4[(1+\theta_*)/2]^3$. Чтобы получить еще большую точность, расчетный интервал $|1-\theta_*|$ можно разбить на несколько отрезков, принимая в каждом из них $p_i=4\theta_i^3$.

Для построения интегроопределенного уравнения, определяющего преобразованную температуру поверхности $W_w=W(x, 0)$, используем линеаризованное (при $F_1=0$) граничное условие, в котором конвективный член представим в форме [7]

$$(6) \quad \lambda_\infty \frac{\partial W_w}{\partial \tau} = \left(\frac{v_\infty x}{U_\infty} \right)^{1/2} \left\{ \int_0^x \alpha(x, \xi) \frac{dW(\xi)}{d\xi} d\xi + \alpha(x, 0) [W_w(0) - W_\infty] \right\}$$

$$\alpha(x, \xi) = 0.332 (\lambda_\infty / x) \operatorname{Re}_x^{1/2} \operatorname{Pr}^{1/3} [1 - (\xi/x)^{1/4}]^{-1/3}$$

В этом случае будем иметь

$$(7) \quad \begin{aligned} &\frac{\beta}{X^2} \frac{d^2 W_w}{dX^2} - \frac{\beta}{X^3} \frac{dW_w}{dX} - p W_w - \frac{1}{X} [W_w(0) - W_\infty] - \\ &- \frac{1}{X^{1/2}} \int_0^X (X^{3/2} - E^{3/2})^{-1/3} \frac{dW_w(E)}{dE} dE = 0 \end{aligned}$$

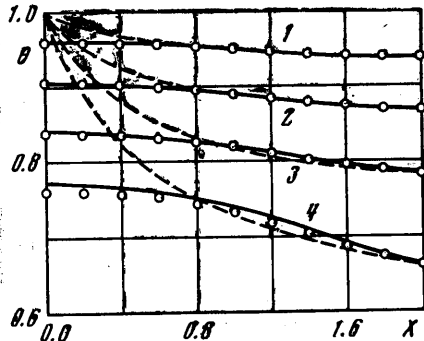
$$(8) \quad dW_w/dX = 0, \quad X=0; \quad W_w = 0, \quad X \rightarrow \infty, \quad X = Bx^{1/2}, \quad E = B\xi^{1/2}$$

$$\beta = \frac{b \lambda_w}{4 \varepsilon \sigma_0 T_0^3} B^4, \quad B = \frac{\varepsilon \sigma_0 T_0^3}{0.332 \lambda_\infty \operatorname{Pr}^{1/3}} \left(\frac{v_\infty}{C U_\infty} \right)^{1/2}$$

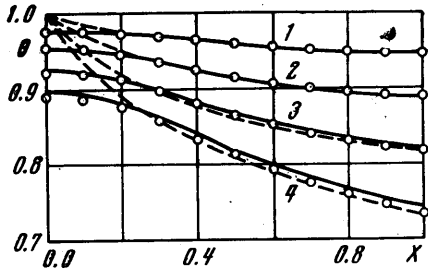
Для не слишком больших значений обобщенной переменной решение задачи (7), (8) можно записать в виде ряда

$$(9) \quad W_w(X) = \sum_{n=0}^{\infty} A_n X^n$$

Благодаря линейной форме интегродифференциального уравнения (7) и крае-



Фиг. 1



Фиг. 2

вым условиям (8) удается получить рекуррентные формулы для коэффициентов ряда (9)

$$A_1 = A_2 = 0, \quad A_3 = \frac{A_0 - W_\infty}{3\beta}, \quad A_n = \frac{A_{n-3}D_{n-3} + pA_{n-4}}{n(n-2)\beta}$$

$$D_n = \frac{\Gamma(2/3n+1)\Gamma(2/3)}{\Gamma[2/3(n+1)]}, \quad n=4, 5, 6, \dots$$

где Γ – гамма-функция.

Коэффициент $A_0 = W_w(0)$ находился при помощи ЭВМ путем сращивания в подходящей точке X решения (9) и решения для нетеплопроводной ($\beta=0$) пластины, аналогично тому, как это сделано в [2, 3].

При $\beta=0$ постановка задачи вместе с решением имеют вид

$$(10) \quad pW_w + \frac{1}{X^{1/2}} \int_0^X (X^{1/2} - E^{1/2})^{-1/2} \frac{dW_w(E)}{dE} dE = 0$$

$$W_w(0) = W_\infty, \quad W_w(X) = \sum_{n=0}^{\infty} \gamma_n P^n X^n$$

а значения величин γ_n определены в [8].

Искомая температура вычислялась затем по формулам (9), (5) и (4).

На фиг. 1, 2 приведены характерные кривые, показывающие изменения температуры вдоль излучающей пластины. Точки – расчет по предлагаемой методике, сплошные линии – «точные» численные решения исходного нелинейного интегродифференциального уравнения, построенного на основе (2). При этом конвективный член, стоящий в левой части выражения (2), определялся по уравнению (6) с заменой W_w на ϑ . Основными параметрами задачи являлись $Q_w = (q_w/\varepsilon\sigma_0 T_0^4) = 0.75, 0.50, 0.25, 0.00$ (кривые 1–4 соответственно) и $\beta = 1.00$ (фиг. 1), $\beta = 0.01$ (фиг. 2). В расчетах процесса переноса, когда $Q_w = 0$, использовалось линеаризующее преобразование

$$W(x, \tau) = \exp[-1/3p\vartheta^{-3}(x, \tau)]$$

а температура на внешней границе пограничного слоя и нелинейные комплексы для этого предельного случая получались равными

$$W = \exp(-p/3) = W_\infty, \quad \tau \rightarrow \infty$$

$$F_1 = \frac{\partial W}{\partial x} \frac{\partial \vartheta}{\partial x} \vartheta^{-4} (4\vartheta^3 - p), \quad F_2 = \frac{\partial W}{\partial \tau} \frac{\partial \vartheta}{\partial \tau} \vartheta^{-4} (4\vartheta^3 - p)$$

При $Q_w=0.75, 0.50, 0.25$ вычисления производились без деления области изменения температуры $|1-\theta_*|$ на отрезки, а при $Q_w=0.00$ этот диапазон делился на два одинаковых интервала: $1-0.5$ и $0.5-0$. Поскольку расчеты поверхностных температур ограничены областью небольших X , оказывалось достаточным использовать лишь первый интервал, для которого корректирующий параметр выбирался по формуле $p=[(1+0.5)/2]^3$. Пунктирные линии фиг. 1 построены на основе уравнения (10), сшивание решений (9) и (10) проводилось в точках $X=1$, когда $\beta=0.01$, и $X=2$, когда $\beta=1.00$.

Как видно из графика, разность между точным численным решением и значениями поверхностных температур, найденными по формулам (9), (5) и (4), никогда не превышает 1.5%.

На фиг. 3 сопоставлены значения температур, вычисленные по предлагаемому способу (точки), с данными [2] (сплошные линии), относящиеся к области очень малых x . Для возможности сравнения все параметры процесса теплопереноса отнесены к температуре торможения

$$T_{00}=T_\infty + \frac{1}{2} U_\infty^2 / C_p$$

а постоянная Чепмена и Рубезина C принята равной единице. Абсцисса графика — обобщенная переменная

$$S = \frac{SK_x}{Re_x^{1/2}} = \frac{\epsilon \sigma_0 T_{00}^3}{\lambda_\infty} \left(\frac{v_\infty x}{U_\infty} \right)^{1/2}$$

Фиг. 3

Расчеты проведены для значений $Q_w=0.4096, 0.2401, 0.1296, 0.0625, 0.0256, 0.0081$ (кривые 1–6 соответственно), $\beta=0.00023$, $Pr=0.738$. Диапазон изменения температур на интервалы не разбивался. Можно видеть, что результаты обоих методов практически совпадают.

В заключение следует отметить, что приведенный выше способ расчета может быть распространен и на другие задачи теплообмена с излучением. В частности, аналогичный подход был использован для анализа процессов переноса в турбулентном пограничном слое. Благодаря же предварительной линеаризации исходной задачи, этот метод обеспечивает заметную экономию машинного времени.

Поступила 30 XI 1972

ЛИТЕРАТУРА

1. Иванов В. В., Дунин И. Л., Медведев Г. Г. Расчет пограничного слоя прозрачного газа на излучающей поверхности. Изв. АН СССР, МЖГ, 1972, № 1.
2. Соколова И. Н. Температура пластинки в сверхзвуковом потоке с учетом излучения. Сб. теорет. работ по аэродинамике. М., Оборонгиз, 1957.
3. Кумар И. Дж., Бартман А. Б. Сопряженная задача теплопереноса в ламинарном пограничном слое сжимаемого газа с излучением. Тепло- и массоперенос, т. 9. Минск, «Наука и техника», 1968, т. 9.
4. Иванов В. В. Исследование переноса тепла в условиях нелинейной теплопроводности. Изв. АН СССР, Энергетика и транспорт, 1966, № 4.
5. Шлихтинг Г. Теория пограничного слоя. М., «Наука», 1969.
6. Иванов В. В., Дунин И. Л. Температура поверхности при аэродинамическом нагреве. Теплофизика высоких температур, 1971, т. 9, № 6.
7. Эккерт Э. Р., Дрейк Р. М. Теория тепло- и массообмена. М., Госэнергоиздат, 1961.
8. Акрикос А., Шамбрэ П. Ламинарный пограничный слой с реакциями на поверхности. Сб. «Газодинамика и теплообмен при наличии химических реакций». М., Изд-во иностр. лит., 1962.